

233777 A. H. 庫普里亞諾夫著

十
管

撲

快

火炮设计与制造

第三册



5
016

国防工业出版社

A. H. 庫普里亞諾夫著

火炮設計与制造

第三冊

炮架机构設計計算原理

刘国祥譯 沈正功校



國防工业出版社

內容介紹

本書講述構架，上架，下架之設計與計算，介紹了各式瞄準機和平衡機，並對火炮行動部分及防盾進行了研討。

本書供炮兵學院作教科書用，也可供其他高等學校學生及從事火炮研究的工程技術人員和設計師參考。

А. К. Куприянов
ПРОЕКТИРОВАНИЕ
И ПРОИЗВОДСТВО
АРТИЛЛЕРИЙСКИХ
СИСТЕМ
Часть 3

Основы расчета и проектирования
механизмов лафета

Москва—1948
本書系根據苏联一九四八年
俄文版譯出

火炮設計与制造

(苏) А. Н. 库普里亚諾夫著

刘国祥 譯
沈正功 校

*

國防部軍械出版社

北京市書刊出版業營業許可證出字第 074 号
北京五三五工厂印刷 吉華書店發行

*

850×1168 1/32 7 10/16 印張 193 千字
1959年3月第一版

1959年3月第一版第一次印刷

印數：0,001—2,000 冊 定價：(11) 1.40 元
No 2678

目 录

第三册的序.....	
第一章 火炮起落部分	
§ 1. 作用于火炮后座部分的摇架反作用力	7
§ 2. 弹带反作用力对摇架反作用力影响的计算	11
§ 3. 摆架本体强度的计算	13
§ 4. 作用于火炮起落部分的反作用力	21
§ 5. 計及彈帶反作用影响的耳軸所受作用力的确定	25
§ 6. 摆架本体与耳軸座籠的連接件的計算	27
§ 7. 耳軸座籠的計算	31
§ 8. 摆架前蓋的計算	32
§ 9. 耳軸强度的計算	34
§ 10. 高低机齿弧与搖架的連接件 的計算	37
第二章 上架	
§ 1. 發射时作用于上架的反作用力	43
§ 2. 別氏彈簧的計算	56
§ 3. 上架基本零件强度的計算	58
§ 4. 作用于上架的反作用力計算举例	61
§ 5. 耳軸蓋板	64
第三章 平衡机	
§ 1. 概說	69
§ 2. 平衡机的分类及其构造圖	74
§ 3. 圓柱螺旋彈簧平衡机	77
§ 4. 平卷彈簧平衡机	92
§ 5. 空气式平衡机	96
§ 6. 空气式平衡机主要零件的計算	100
§ 7. 火炮起落部分平衡計算举例	102
第四章 謄准机	
§ 1. 概說	113

§ 2. 对瞄准机的要求	114
§ 3. 螺杆方向机	123
§ 4. 惯性矩	137
§ 5. 齿弧高低机	140
§ 6. 螺杆高低机	159
§ 7. 齿弧方向机	161
§ 8. 惯性矩计算举例	176

第五章 火炮行动部分

§ 1. 火炮缓冲器	176
§ 2. 火炮制动装置	198
§ 3. 车轴	209
§ 4. 车轮	215

第六章 下架

§ 1. 炮架的大架	217
§ 2. 下架本体	238
§ 3. 驻锄和架尾板	238

第七章 防盾

第三册的序

著本書之目的，仅在于給有关专业的学员提供一本教学参考書。评价本書时这点是应考慮到的。

書中沒有完全包括火炮設計師們設計現代野炮炮架所必須解決的全部問題。有些問題沒有在理論上严格論証和解决。

对炮架原理方面之指导性資料与參考資料之需要極為迫切，因为目前炮架理論著作很缺乏，并且其中大部分已經陳旧了。

虽然这門技术知識已有新的进展，但大多属于反后座裝置之原理与計算。至于現代炮架其它机构之原理与計算，除了几篇論述个别問題的文章之外，好几年來刊物上还未出現过什么新的創作。

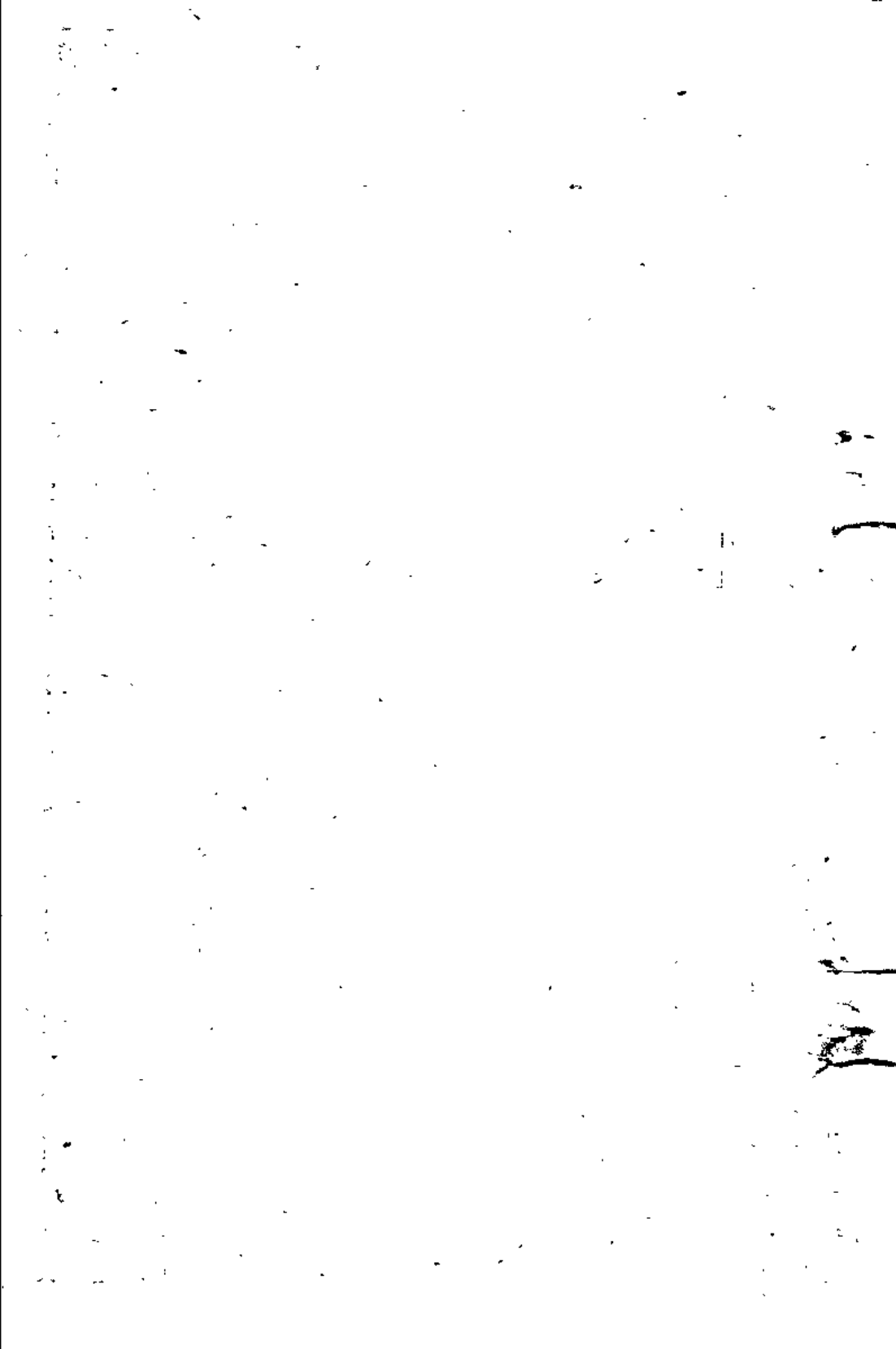
有鑑于此，本書尚有缺点，作者希望它能够对炮架理論提供适时而有益的貢獻。

著作本書时引用了許多重要文献，其出处均注明于頁末，或直接注明于正文中。

最后，作者認為必須感謝本書的評閱者A. A. 托洛契科夫將軍，感謝他校閱了本書原稿并提供了許多宝贵的意見；这些意見作者在最后修正本文时已予采納。

副教授、技术科学硕士

庫普里亞諾夫A. H.



第一章 火炮起落部分

§1 作用于火炮后座部分的摇架反作用力

弹丸沿炮膛运动时，有以下诸力作用于后座部分●（图1）：

P_{air} ——火炮气体对膛底的压力与弹带阻力的合力；

Q_0 ——后座部分的重量；

Φ ——驻退机力；

H ——复进机力；

N_1 和 N_2 ——摇架前、后法向反作用力；

$T_1 = fN_1$ 和 $T_2 = fN_2$ ——摇架定向滑板上的摩擦力；

T_r 和 T_b ——驻退机及复进机紧塞装置的摩擦力；

R_n ——弹带对膛线导转侧的反作用力●。

以上诸力中，反作用力 N_1 和 N_2 是未知量。

将后座部分的惯性力 I 视为外力，则根据达伦培尔原理，可将后座部分视作处于平衡状态中的体系，并可将一般的平衡条件应用于此体系。

在所取坐标系（图1）中，平衡条件如下●：

$$\left. \begin{array}{l} \sum X = 0 \\ \sum Y = 0 \\ \sum M = 0 \end{array} \right\}, \quad (1)$$

● 正确的说法应是“后坐着的部分”，但这里和以后仍沿用实际上和文献中大家惯用的术语“后座部分”。

● 为简化论述起见，我们暂不计算此反作用力。以后计算 R_n 对摇架反作用力大小的影响时，将另辟一节加以討論。

● 然所有力都在射面内。

其中前两个方程是座标轴上力的投影和，最后一个方程是对点O——后座部分重心——的力矩和。

将力的投影值和力作用点的坐标值代入平衡条件，则得下列方程：

$$P_{\text{ax}} - \Phi - H - f(N_1 + N_2) - T_x - T_u + Q_0 \sin \varphi - I = 0;$$

$$N_2 - N_1 - Q_0 \cos \varphi = 0;$$

$$\begin{aligned} P_{\text{ax}}e + (\Phi + T_x)h_3 - (H + T_u)h_4 - N_1l_1 - N_2l_2 \\ + fN_1h_1 + fN_2h_2 = 0, \end{aligned}$$

其中 φ ——射角；

$$I = \frac{Q_0}{g} \cdot i_0$$

(i_0 ——后座部分的加速度)。

令

$$\left. \begin{aligned} \Phi' &= \Phi + T_x \\ H' &= H + T_u \end{aligned} \right\}, \quad (2)$$

经简单的变换，就可将平衡方程化为：

$$P_{\text{ax}} - \Phi' - H' - f(N_1 + N_2) + Q_0 \sin \varphi - I = 0, \quad (3)$$

$$N_2 - N_1 - Q_0 \cos \varphi = 0, \quad (4)$$

$$P_{\text{ax}}e + \Phi'h_3 - H'h_4 - N_1(l_1 - fh_1) - N_2(l_2 - fh_2) = 0. \quad (5)$$

由最后两个方程可求出未知反作用力 N_1 和 N_2 。至于第一个方程，它并非别的，而正是后座部分的运动方程，用它可确定包括摇架定向滑板摩擦力变值在内的驻退机的力。

由方程(5)解出 N_2 ，则得：

$$N_2 = \frac{P_{\text{ax}}e + \Phi'h_3 - H'h_4 - N_1(l_1 - fh_1)}{l_2 - fh_2}.$$

由方程(4)

$$N_2 = N_1 + Q_0 \cos \varphi, \quad (6)$$

使这两式的右边相等，即得：

$$N_1 + Q_0 \cos \varphi = \frac{P_{KH} + \Phi' h_3 - \Pi' h_4 - N_1(l_1 - f h_1)}{l_2 - f h_2}.$$

由此，完成全部变换后，最终得：

$$N_1 = \frac{P_{KH} + \Phi' h_3 - \Pi' h_4 - Q_0 \cos \varphi (l_1 - f h_1)}{l - f(h_1 + h_2)}, \quad (7)$$

其中 $l = l_1 + l_2$ ——二诱导筒中点间的距离。

有了 N_1 值，就可用 (6) 式求出反作用力 N_2 值：

$$N_2 = \frac{P_{KH} + \Phi' h_3 - \Pi' h_4 + Q_0 \cos \varphi (l_1 - f h_1)}{l - f(h_1 + h_2)}. \quad (8)$$

计算炮身诱导筒、定向滑板和摇架本身的强度时，可使用公式 (6) 和 (7)。

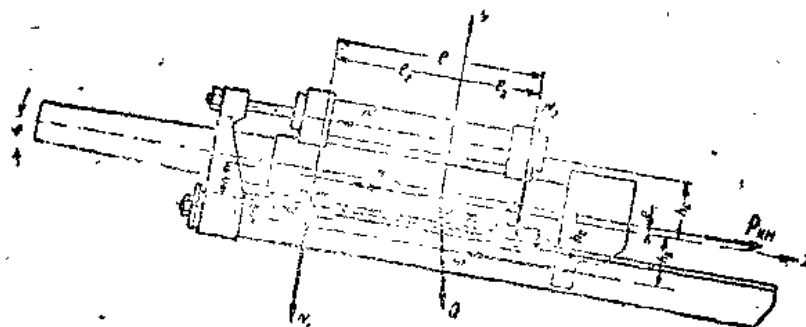


圖 1

定向滑板的总摩擦力为：

$$F = f(N_1 + N_2),$$

或将 N_1 和 N_2 值代入后，则得：

$$P = f \frac{2(P_{KH} + \Phi' h_3 - \Pi' h_4) + Q_0 \cos \varphi (l_1 - l_2 + f(h_3 - h_1))}{l - f(h_1 + h_2)}. \quad (9)$$

此式可用来确定包括摇架定向滑板变摩擦力在内的驻退机的力 Φ 。

以上推出的诸式表明，摇架反作用力 N_1 和 N_2 及摩擦力 F 是射角 φ 的函数，此外，这三种力还与所研究后座瞬间的 P_{KH} 、 Φ' 和 Π' 脉冲的大小有关系，就是说它们也是后座长度 X 的函数。

只有完全了解后座时搖架負荷問題后，才能进行搖架强度的計算（§3），所以在实际計算时，必須对于射角 φ 和后座長度 X 的一系列的值来确定反作用力 N_1 和 N_2 的大小。

为了計算系統化及醒目起見，最好将計算所得的結果列入如下形式的表格内。

$\varphi = \varphi_{\min}$			$\varphi = \varphi_{\text{opt}}$			$\varphi = \varphi_{\max}$		
X	N_1	N_2	X	N_1	N_2	X	N_1	N_2

由公式（7）、（8）和（9）可看出，为了减小反作用力 N_1 、 N_2 和摩擦力 F ，最好

- a) 增長誘導籠之間的距離 l ；
- b) 对炮身对称地安置反后座装置，亦即將駐退机和复进机分別装在炮身的上、下方，在鉛直面內●。

我們知道，計算搖架反作用力的公式是根据圖1推导出来的。此圖表示，炮身位于槽形断面搖架內并以两个誘導籠与搖架联結时，諸力于某一后座瞬間对后座部分作用的情形。所取搖架反作用力 N_1 和 N_2 的方向是这样的：二反作用力对后座部分重心（点O）的力矩的符号相同（反作用力 N_1 向下， N_2 向上）。

显然，只有火炮起落部分的构造确如圖1所示，并且在所研究后座瞬間搖架反作用力的方向确与圖1所示相同时，才能直接使用导出的公式（7）和（8）計算搖架的反作用力。

在实际計算中，用公式（7）算出的所研究后座瞬間的反作用力 N_1 可能是負的。这就是說，反作用力 N_1 的实际方向与圖1所

● 为了减小敌人大火破坏反后座装置的可能性，应将駐退机和复进机都裝在炮身下面。

示的相反，亦即它在所研究后座瞬间不是向下，而是向上。

在此情况下，便须按照反作用力在所研究后座瞬间应有的方向来改造反作用力的计算公式。

改造后的公式，以及火炮起落部分不同于图1时计算摇架反作用力公式的推导，不在这里讨论，因为读者根据已阐明的方法可独立推得这些公式。

最后应指出，若炮身有三个支点（三个诱导筒，炮尾和两个诱导筒），则计算时在后支点脱离摇架前不考虑中间支点。

§2. 弹带反作用力对摇架反作用力影响的计算

众所周知，弹丸沿火炮线膛运动时，在弹带反作用力作用下，产生使炮身沿反弹丸转动的方向旋转的力矩 M_{kp} 。●

力矩 M_{kp} 经过炮身支点传到摇架上，进而经过耳轴由炮架承受。当炮身支持在槽形断面摇架上，并用诱导筒与摇架连接时，由于力矩 M_{kp} 的作用，在摇架定向滑板上产生附加反作用 N'_1 和 N'_2 （图2）。

有两个诱导筒时，此反作用力之大小为：

$$N'_1 = N'_2 = \frac{M_{kp}}{2t}, \quad (10)$$

其中 t —— 二诱导筒工作面重心间的距离。

由下面的见解出发，可更精确地计算附加反作用力。

将炮身看作不动地固定于二支座上的一根轴（图3），

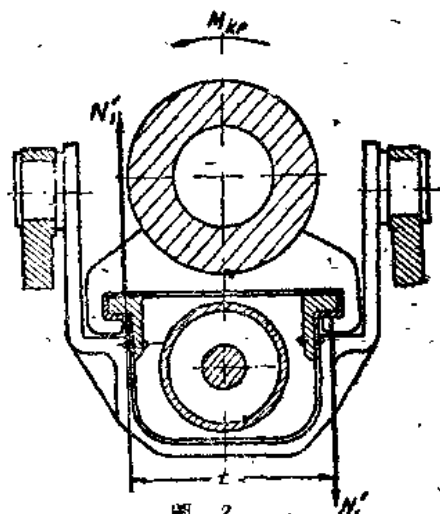


图 2

● 炮身强度数据中有计算此力矩的公式。

在断面 mn 上荷有力矩 M_{kp} 。



圖 3

根据平衡条件可写出：

$$M_1 + M_2 = M_{kp}, \quad (11)$$

其中 M_1 和 M_2 ——二支点上的（二炮身诱导罐上的）反作用力矩

因为从断面 mn 向右和向左扭轉的角必相等，所以我們得到关联力矩 M_1 和 M_2 的方程：

$$\frac{M_1 a}{GI_p} = \frac{M_2 b}{GI_p},$$

其中 GI_p ——炮身的扭轉剛度； G ——剪切系数；

I_p ——軸（炮身）断面的極慣性矩。

約去 GI_p ，便得两力矩的关系式：

$$\frac{M_1}{M_2} = \frac{b}{a}. \quad (12)$$

将 (12) 式中的 M_2 值代入 (11) 式，即得：

$$M_1 + M_1 \frac{a}{b} = M_{kp}.$$

由此求得力矩 M_1 的大小：

$$M_1 = M_{kp} \frac{b}{a+b}, \quad (13)$$

再由方程 (11) 求得力矩 M_2 的值：

$$M_2 = M_{kp} \frac{a}{a+b}. \quad (14)$$

在所研究的問題中，断面 mn 为所討論發射瞬間彈帶所在的炮身断面； M_1 和 M_2 为由诱导罐所承受并由搖架附加反作用 N'_1 、 N'_2 之力矩所平衡的力矩， a 和 b 分别为由断面 mn 到炮身第一、第二誘

导筒中点的距离。

因此，根据关系式（13）和（14）得：

$$\left. \begin{aligned} N'_1 &= \frac{M_1}{l} = \frac{M_{kp}b}{l} \\ N'_2 &= \frac{M_2}{l} = \frac{M_{kp}d}{l} \end{aligned} \right\}, \quad (15)$$

其中 $l = a + b$ ——两诱导筒中点间的距离。

所得公式表明，力矩 M_{kp} 在二诱导筒上分配不均匀。

有了基本的和附加的摇架反作用力，便不难根据力的合成原理求出合成反作用力了。

炮身诱导筒、定向滑板和摇架本体的强度根据最大的合成反作用力计算。

§3 摆架本体强度的計算

我們以槽形断面摇架为例，并假定在它的上面固定有（图4）：前上方有固定复进杆用的支座；中部有带高低机齿弧的耳轴座；

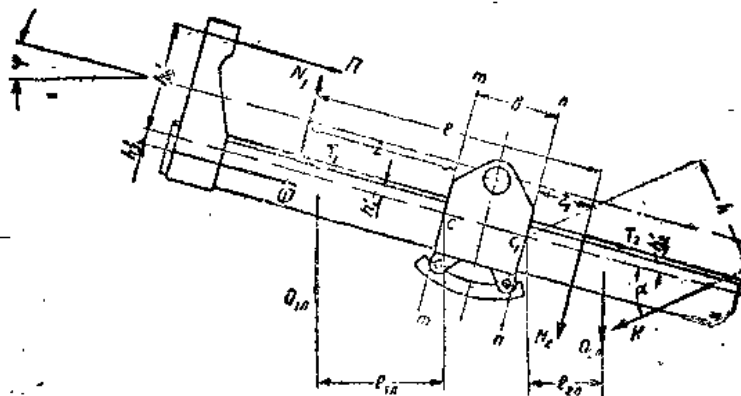


圖 4

内面有连接炮身诱导筒用的定向滑板和若干增强摇架本体刚度用的横连接板。

設駐退杆固定于搖架前蓋上。

后座时可将摇架看作由耳軸底箍挾于 b 段上的梁，它受着下列負荷的作用：

Φ ——駐退机力；

H ——复进机力；

K ——平衡机力；

N_1 和 N_2 ——炮身誘導箍的反作用力；

T_1 和 T_2 ——搖架定向滑板上的摩擦力；

Q_{1a} 和 Q_{2a} ——搖架本体前、后部的重量。

除上述負荷外，在炮彈沿炮膛运动时，作用于搖架的还有扭轉力矩 M_{sp} 。

搖架本体强度的計算，就在于制定本体悬出段各断面上的应力，此应力是由上述負荷引起之弯曲力矩和扭轉力矩及軸向力的作用造成的。

通常对于三个射角值，例如对于 φ_{min} 、 φ_{np} 和 φ_{max} ，及以下瞬間的炮身后座位置进行計算：

a) 火藥气体压力最大瞬間；

b) 气体后效終了瞬間；

c) 后座終了瞬間。

我們指出，預先計算时，通常只計算耳軸座箍前后切面处搖架斷面（圖 4 上的 mm 和 nn 斷面）上的应力。

因为搖架本体斷面的保証强度的尺寸很难直接求出来，亦即很难直接按已知作用力和所取的許用应力值計算出来，所以須用一系列的接近計算按相反的次序来解决此問題，例如根据結構理由先給定搖架斷面的輪廓，然后确定相应的最大应力，再改变斷面的尺寸，直到获得所要求的应力值为止。

因此，計算搖架本体上述斷面上的强度时，应計算：

● 索塞裝置中的摩擦力亦包括于力 Φ 和力 H 内。

a) 断面面积 F 、断面中性轴位置、断面惯性矩 I 以及断面的边缘纤维（上、下纤维）的断面系数 W_u 和 W_n ；

b) 弯曲力矩 M_b 和轴向力 S ；

c) 最大应力（法向、切向和相当应力）。

割断力造成的剪切应力无足轻重，故可省略。

弯曲力矩 M_b 和轴向力 S 按下列次序求出。

取断面 mm （图 4）为例。

设点 c —— 断面中性层之迹。

假定由于前面的计算，已知所讨论后座瞬间的对应于射角 Ψ 的力 Φ 、 H 、 N_1 、 N_2 、 T_1 、 T_2 和力矩 M_{kp} 。

由图 1 可知，断面 mm 发生弯曲、压缩和扭转所构成的复杂变形。

兹设弯曲力矩使摇架的上纤维拉伸时为正，反之，使上纤维压缩时为负。此时，摇架本体该断面上的全部法向应力的表达式为：

$$\left. \begin{aligned} \sigma_a &= \pm \frac{M_b}{W_u} - \frac{S}{F} \\ \sigma_n &= \mp \frac{M_b}{W_n} - \frac{S}{F} \end{aligned} \right\} \quad (16)$$

计算弯曲力矩 M_b 和轴向力 S 的公式如下：

$$M_b = \Phi h'_3 + H h'_4 + T_1 h'_1 - N_1 z + Q_{1a} l_{1a},$$

$$S = \Phi + H + T_1 + Q_{1a} \sin \Psi,$$

其中 h'_3 、 h'_4 、 h'_1 、 z 和 l_{1a} —— 諸力对断面 mm 中性层（点 c ）的作用臂。

可用同样的方法列出在摇架任何断面上作用的 M_b 和 S 的公式。

例如，于断面 nn 内作用的 M_b 和 S 的公式为：

$$M_b = N_2 z_1 + T_2 h'_2 + Q_{2a} l_{2a} + K h,$$

$$S = -T_2 + K \cos \alpha - Q_{2a} \sin \Psi,$$

其中 z_1 、 h'_2 、 l_{2a} 和 h —— 諸力对于断面 nn 中性层（点 c_1 ）的作用臂。

● 计算扭轉力矩 M_{kp} 的作用时还必须求出 l_{2a} 的值。

用臂;

α ——射角为 φ 时中性臂与不平衡机力 K 作用方向的夹角。

为了使计算结果系统化和醒目起见，最好按下表所示方式进行应力计算。

断面 号数	F	I	W_B	W_H	断面 面积 系数	$q = \dots \dots$							
						M_b	S	$X = \gamma_m$		$X = \gamma_u$		$X = \lambda$	
								σ_a	σ_{Hf}	σ_a	σ_u	σ_a	σ_H

最后我們指出，計算 F 、 I 、 W_B 和 W_H 的值時，必須把斷面上所有的孔考慮进去。

較严格地計算搖架本体强度时，应把扭轉力矩 M_{rp} 的影响考慮进去。

在这种情况下，求由扭轉力矩 M_{rp} 引起的最大切应力的方法是：将搖架截面（圖 5）分成許多如圖 6 所示的矩形，再求出对应于極慣性矩 I_E 的整个断面的 I_E 的值，取：

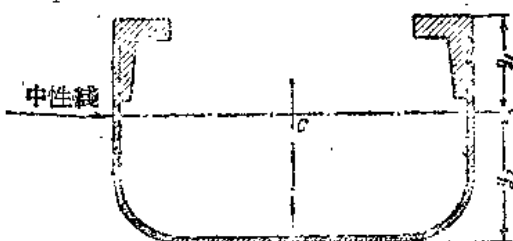


圖 5